

7. Гилев В. М., Качанов Ю. С., Козлов В. В. Развитие пространственного волнового пакета в пограничном слое. Препринт № 34. Новосибирск: ИТПМ СО АН СССР, 1981.

Поступила 19/X 1983 г.

УДК 533.9

## О ВЛИЯНИИ ИСХОДНЫХ ПРОСТРАНСТВЕННО-НЕОДНОРОДНЫХ ВОЗМУЩЕНИЙ ТЕМПЕРАТУРЫ НА ДИНАМИКУ КОЛЕБАТЕЛЬНОЙ РЕЛАКСАЦИИ

И. А. Кириллов, Б. В. Потапкин, В. Д. Русанов,  
М. И. Стрелкова, А. А. Фридман  
(Москва)

Колебательная релаксация неравновесного ( $T_V > T$ ) молекулярного газа играет важную роль в физике газовых лазеров, лазерохимии [1] и плазмохимии [2]. Данная работа посвящена анализу динамики  $V-T$ -релаксации с учетом пространственно-неоднородных возмущений поступательной температуры.

Предположим, что в начальный момент времени распределения поступательной  $T$  и колебательной  $T_V$  температур

$$(1) \quad T(t=0, x) = T_0 + g(x), \quad T_V(t=0, x) = T_{V0} + h(x)$$

слабо флуктуируют в пространстве ( $|g(x)| \ll T_0$ ,  $|h(x)| \ll T_{V0}$ ) и скорость  $V-T$ -релаксации зависит от пространственной координаты. Если плотность колебательно-возбужденных молекул относительно велика и их гетерогенной дезактивацией можно пренебречь (т. е. выполняется неравенство  $\tau_{VT} \ll L^2/\chi_V$ ,  $\tau_{VT}$  — время  $V-T$ -релаксации,  $\chi_V$  — коэффициент колебательной теплопроводности,  $L$  — характерный размер системы), то в случае резкой температурной зависимости времени  $V-T$ -релаксации  $\tau_{VT} = \tau_{VT}^0 \exp\left(\frac{B}{T^{1/2}}\right)$  [1] теплопроводность и конвективный теплообмен не смогут восстанавливать пространственную однородность распределения газовой температуры. В этих условиях релаксация к равновесию будет носить неоднородный характер.

Указанный эффект можно описать следующей системой уравнений:

$$(2) \quad nc_V \frac{\partial T}{\partial t} = n \frac{\varepsilon_V(T_V) - \varepsilon_V(T)}{\tau_{VT}} + \lambda_T^T \nabla^2 T;$$

$$(3) \quad nc_V \frac{\partial T_V}{\partial t} = -n \frac{\varepsilon_V(T_V) - \varepsilon_V(T)}{\tau_{VT}} + \lambda_V^V \nabla^2 T_V,$$

где  $n$  — плотность газа;  $T$  и  $T_V$  — его поступательная и колебательная температуры;  $\varepsilon_V(T_V) = \varepsilon[\exp(\varepsilon/kT_V) - 1]^{-1}$  — средняя колебательная энергия на молекулу;  $\varepsilon$  — квант колебательной энергии;  $\lambda_T^T$ ,  $\lambda_V^V$  — коэффициенты поступательной и колебательной теплопроводности [3]. Отметим, что в случае сильного отличия колебательной функции распределения от больцмановской необходимо учитывать влияние колебательно-поступательной проводимости  $\lambda_V^T$  [4].

При записи уравнений (1), (2) предполагалось, что конвективным переносом тепла можно пренебречь по сравнению с теплопроводностью. Это справедливо, если выполняется неравенство  $\frac{1}{T} \frac{d\delta T}{dt} \ll \chi_T/\tilde{a}^3$ , которое соответствует малым числам Пекле  $Re = va/\chi_T$ , где  $\chi_T = \lambda_T^T/nc_V$  — коэффициент поступательной теплопроводности,  $v$  — масштаб средне-

массовой скорости,  $a$  — характерный размер неоднородности температуры,  $d\delta T/dt$  — ее скорость изменения во времени.

Чтобы проследить за эволюцией малых возмущений  $T_1(x, t)$ ,  $T_{V1}(x, t)$  поступательной и колебательной температур на временах, когда основной фон ( $T_0$ ,  $T_{V0}$ ) еще можно считать неизменным, линеаризуем систему (1), (2):

$$(4) \quad \frac{\partial T_1}{\partial t} = \omega_{TT} T_1 + \omega_{TV} T_{V1} + \chi_T \frac{\partial^2 T_1}{\partial x^2};$$

$$(5) \quad \frac{\partial T_{V1}}{\partial t} = \omega_{VT} T_1 + \omega_{VV} T_{V1} + \chi_V \frac{\partial^2 T_{V1}}{\partial x^2},$$

$$\text{где } \hat{\tau}_{VT} = \frac{\partial \ln \tau_{VT}}{\partial \ln T}, \omega_{TT} = \tau_{VT}^{-1} \left[ -\hat{\tau}_{VT} \frac{\varepsilon_V(T_V) - \varepsilon_V(T)}{c_V T} - \frac{c_V^V(T_0)}{c_V} \right],$$

$$\omega_{VV} = -\tau_{VT}^{-1}, \omega_{TV} = \tau_{VT}^{-1} \frac{c_V^V(T_V)}{c_V}, \omega_{VT} = -\omega_{TT} \frac{c_V}{c_V^V(T_V)}.$$

Из (4), (5) следует, что скорость изменения амплитуды возмущений вида  $e^{\lambda t} \cos kx$  определяется выражением

$$(6) \quad \lambda_{\pm} = \frac{(-\chi_T k^2 + \omega_{TT} - \chi_V k^2 + \omega_{VV})}{2} \pm \sqrt{\frac{(-\chi_T k^2 + \omega_{TT} + \chi_V k^2 - \omega_{VV})^2}{4} + \omega_{TV} \omega_{VT}}.$$

Для релаксации сильновозбужденного газа ( $\varepsilon_V(T_V) - \varepsilon_V(T) \gg c_V T$ ), идущей с нижних колебательных уровней ( $\hat{\tau}_{VT} < 0$ ,  $\chi_T > \chi_V$  [4]), получаем из (6)  $\omega_{TT} > 0$ ,  $\omega_{VV} < 0$ ,  $\omega_{VT} \omega_{TV} < 0$ . Зависимость  $\operatorname{Re} \lambda$  от  $k^2$  для этих условий представлена на фиг. 1, откуда видно, что на начальном этапе релаксации мелкомасштабные возмущения затухают вследствие теплопроводности, а «длинноволновые» флуктуации растут. В системе можно выделить характерный пространственный масштаб

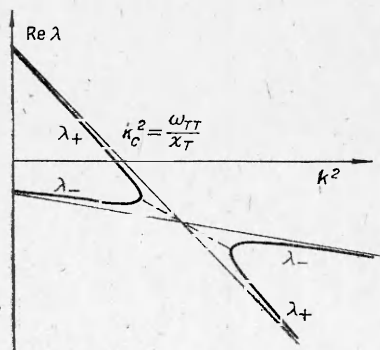
$$(7) \quad l_c = 2\pi \sqrt{\frac{\chi_T}{\omega_{TT}}} = 2\pi \sqrt{\frac{c_V T}{\chi_T \tau_{VT} \varepsilon_V(T_V) - \varepsilon_V(T) |\hat{\tau}_{VT}|}},$$

который соответствует средней длине теплопроводности.

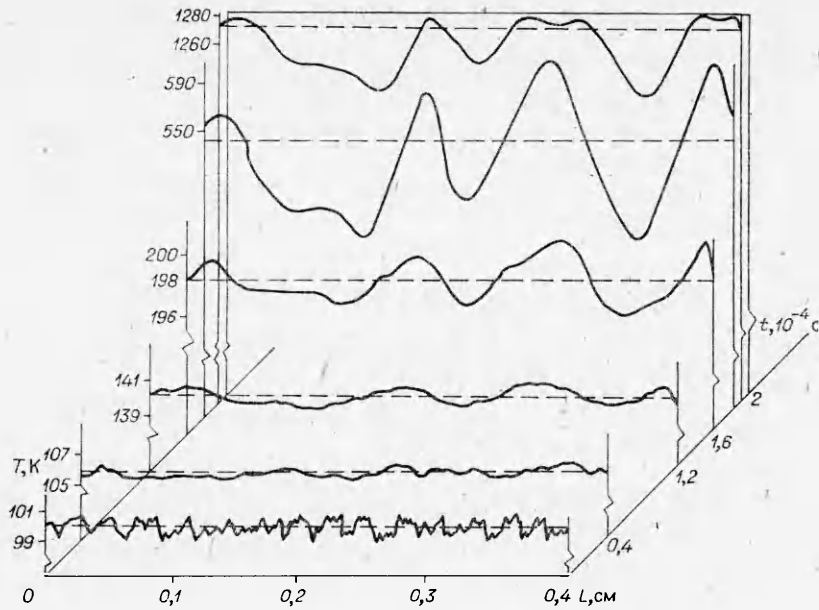
Для изучения характера  $V-T$ -релаксации на временах, когда поступательная температура начинает взрывообразно расти, была численно решена смешанная краевая задача (2), (3) с начальными (1) и граничными условиями

$$(8) \quad \frac{dT}{dx} \Big|_{x=0, L} = \frac{dT_V}{dx} \Big|_{x=0, L} = 0.$$

Начальное возмущение  $g(x)$  задавалось в виде «белого шума» с  $\langle \delta T^2 \rangle = 0,8 \cdot 10^{-4}$  град<sup>2</sup>. В расчете, результаты которого представлены на фиг. 2, учитывались 4 колебательные степени свободы молекулы CO<sub>2</sub> и ее диссоциация за счет запасенной колебательной энергии [2]. Были использованы следующие значения параметров:  $n = 3 \cdot 10^{18}$  см<sup>-3</sup>,  $T_0 = 100$  К,  $T_{V0} = 3500$  К,  $\varepsilon_i = 2396$  см<sup>-1</sup>,  $\varepsilon_a = 1351$  см<sup>-1</sup>,  $\varepsilon_s = 672$  см<sup>-1</sup>,  $\chi_T = 3\chi_V = 1,4$  см<sup>2</sup>/с,  $B = 72$  град<sup>1/3</sup>,  $c_V = \frac{5}{2} k$ ,  $\tau_{VT}^0 = 10^{-3}$  с. При использовании коэффициента температуропроводности  $\chi_T$  (T), зависящего от поступательной температуры, характер решения качественно не менялся.



Фиг. 1



Фиг. 2

Следует отметить существенно неоднородный характер релаксации, в ходе которой можно условно выделить три стадии. Вначале происходит интенсивное затухание мелкомасштабных возмущений, затем формируется ярко выраженное пространственно-неоднородное распределение температуры, которое слаживается по мере приближения к термодинамическому равновесию. Это качественное описание наглядно иллюстрирует фиг. 3, где изображена временная зависимость среднеквадратичного отклонения решения задачи (1)–(3), (8) от пространственно-однородного решения уравнений (2), (3).

Наличие в релаксирующей системе градиентов температуры приводит к изменению среднего времени релаксации. Действительно, запишем  $T = \langle T \rangle + \delta T(x)$ , где  $\langle T \rangle$  — усредненное по пространству значение температуры,  $\delta T(x) \ll \langle T \rangle$  — отклонение от среднего фона. Разложим скорость релаксации в ряд по степени неоднородности:

$$Q_{VT}(T(x)) = \frac{\varepsilon_V(T_V) - \varepsilon_V(T)}{\tau_{VT}(T)} = Q_{VT}(\langle T \rangle) + \frac{\partial Q_{VT}}{\partial T} \delta T + \frac{\partial^2 Q_{VT}}{\partial T^2} \frac{1}{2} (\delta T)^2 + \dots$$

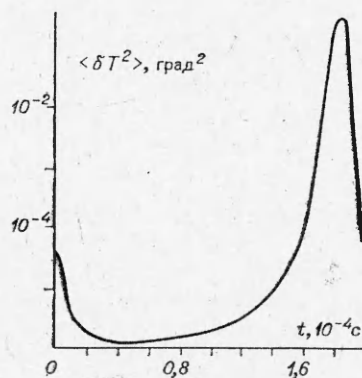
и усредним это выражение по пространству:

$$\langle Q_{VT} \rangle = Q_{VT}(\langle T \rangle) + \frac{\partial Q_{VT}}{\partial T} \langle \delta T \rangle + \frac{\partial^2 Q_{VT}}{\partial T^2} \langle \delta T^2 \rangle + \dots$$

Считая спектр флуктуаций гауссовым ( $\langle \delta T \rangle = 0$ ), получаем, что если  $\partial^2 Q_{VT}/\partial T^2 > 0$ , то при неоднородном распределении температуры средний темп релаксации выше, чем при однородном:

$$\langle \tau_{VT} \rangle = \tau_{VT}(\langle T \rangle) \left[ 1 + \frac{\partial^2 Q_{VT}}{\partial T^2} \frac{1}{2} \langle \delta T^2 \rangle \right].$$

Если же  $Q_{VT}(T)$  — вогнутая функция поступательной температуры ( $\partial^2 Q_{VT}/\partial T^2 < 0$ ), то пространственно-неоднородная релаксация в среднем идет медленнее однородной. Первый случай реализуется на начальном этапе релаксации, когда увеличение температуры приводит к убыванию  $V-T$ -обмена, второй — вблизи термодинамического равновесия, где повышение поступательной темпе-



Фиг. 3

ратуры газа ведет к снижению интенсивности релаксации из-за истощения колебательного резервуара.

[Заметим, что пространственно-неоднородный режим колебательной релаксации может быть связан с распадом разряда повышенного давления на отдельные нити, вытянутые вдоль потока газа. Если за расстояние между нитями принять характерную длину (7), то для указанных выше значений параметров получим величину  $\sim 0,1$  см, которая согласуется с визуальными наблюдениями на СВЧ-плазмотроне в сверхзвуковом потоке газа [5].

#### ЛИТЕРАТУРА

1. Гордиец Б. Ф., Осипов А. Н., Шелепин А. А. Кинетические процессы в газах и молекулярные лазеры. М.: Наука, 1980.
2. Русанов В. Д., Фридман А. А., Шолин Г. В. Физика химически активной плазмы с неравновесным колебательным возбуждением молекул.— УФН, 1981, т. 134, вып. 2.
3. Андерсен Г. Вывод уравнений гидродинамики из кинетического уравнения Больцмана.— В кн.: Кинетические процессы в газах и плазме. М.: Атомиздат, 1972.
4. Добкин С. В., Сон Э. Е. Теплопроводность колебательно-возбужденного молекулярного газа. ВИНИТИ, 1984, № 2006.
5. Azizov R. I. et al. Carbon dioxide dissociation in non-equilibrium plasma.— In: Proc. 5th Int. Symp. Plasma Chemistry. Vol. 2, 1981.

Поступила 10/VIII 1983 г.